

Статьи

библиотека

76	
81	
86	
93	
96	
101	
111	
113	
119	
126	
132	
138	
144	
150	
156	
162	
168	
174	
180	
186	
192	
198	
204	
210	
216	
222	
228	
234	
240	
246	
252	
258	
264	
270	
276	
282	
288	
294	
300	
306	
312	
318	
324	
330	
336	
342	
348	
354	
360	
366	
372	
378	
384	
390	
396	
402	
408	
414	
420	
426	
432	
438	
444	
450	
456	
462	
468	
474	
480	
486	
492	
498	
504	
510	
516	
522	
528	
534	
540	
546	
552	
558	
564	
570	
576	
582	
588	
594	
600	
606	
612	
618	
624	
630	
636	
642	
648	
654	
660	
666	
672	
678	
684	
690	
696	
702	
708	
714	
720	
726	
732	
738	
744	
750	
756	
762	
768	
774	
780	
786	
792	
798	
804	
810	
816	
822	
828	
834	
840	
846	
852	
858	
864	
870	
876	
882	
888	
894	
900	
906	
912	
918	
924	
930	
936	
942	
948	
954	
960	
966	
972	
978	
984	
990	
996	
1002	
1008	
1014	
1020	
1026	
1032	
1038	
1044	
1050	
1056	
1062	
1068	
1074	
1080	
1086	
1092	
1098	
1104	
1110	
1116	
1122	
1128	
1134	
1140	
1146	
1152	
1158	
1164	
1170	
1176	
1182	
1188	
1194	
1200	
1206	
1212	
1218	
1224	
1230	
1236	
1242	
1248	
1254	
1260	
1266	
1272	
1278	
1284	
1290	
1296	
1302	
1308	
1314	
1320	
1326	
1332	
1338	
1344	
1350	
1356	
1362	
1368	
1374	
1380	
1386	
1392	
1398	
1404	
1410	
1416	
1422	
1428	
1434	
1440	
1446	
1452	
1458	
1464	
1470	
1476	
1482	
1488	
1494	
1500	
1506	
1512	
1518	
1524	
1530	
1536	
1542	
1548	
1554	
1560	
1566	
1572	
1578	
1584	
1590	
1596	
1602	
1608	
1614	
1620	
1626	
1632	
1638	
1644	
1650	
1656	
1662	
1668	
1674	
1680	
1686	
1692	
1698	
1704	
1710	
1716	
1722	
1728	
1734	
1740	
1746	
1752	
1758	
1764	
1770	
1776	
1782	
1788	
1794	
1800	
1806	
1812	
1818	
1824	
1830	
1836	
1842	
1848	
1854	
1860	
1866	
1872	
1878	
1884	
1890	
1896	
1902	
1908	
1914	
1920	
1926	
1932	
1938	
1944	
1950	
1956	
1962	
1968	
1974	
1980	
1986	
1992	
1998	
2004	
2010	
2016	
2022	
2028	
2034	
2040	
2046	
2052	
2058	
2064	
2070	
2076	
2082	
2088	
2094	
2100	
2106	
2112	
2118	
2124	
2130	
2136	
2142	
2148	
2154	
2160	
2166	
2172	
2178	
2184	
2190	
2196	
2202	
2208	
2214	
2220	
2226	
2232	
2238	
2244	
2250	
2256	
2262	
2268	
2274	
2280	
2286	
2292	
2298	
2304	
2310	
2316	
2322	
2328	
2334	
2340	
2346	
2352	
2358	
2364	
2370	
2376	
2382	
2388	
2394	
2400	
2406	
2412	
2418	
2424	
2430	
2436	
2442	
2448	
2454	
2460	
2466	
2472	
2478	
2484	
2490	
2496	
2502	
2508	
2514	
2520	
2526	
2532	
2538	
2544	
2550	
2556	
2562	
2568	
2574	
2580	
2586	
2592	
2598	
2604	
2610	
2616	
2622	
2628	
2634	
2640	
2646	
2652	
2658	
2664	
2670	
2676	
2682	
2688	
2694	
2700	
2706	
2712	
2718	
2724	
2730	
2736	
2742	
2748	
2754	
2760	
2766	
2772	
2778	
2784	
2790	
2796	
2802	
2808	
2814	
2820	
2826	
2832	
2838	
2844	
2850	
2856	
2862	
2868	
2874	
2880	
2886	
2892	
2898	
2904	
2910	
2916	
2922	
2928	
2934	
2940	
2946	
2952	
2958	
2964	
2970	
2976	
2982	
2988	
2994	
3000	
3006	
3012	
3018	
3024	
3030	
3036	
3042	
3048	
3054	
3060	
3066	
3072	
3078	
3084	
3090	
3096	
3102	
3108	
3114	
3120	
3126	
3132	
3138	
3144	
3150	
3156	
3162	
3168	
3174	
3180	
3186	
3192	
3198	
3204	
3210	
3216	
3222	
3228	
3234	
3240	
3246	
3252	
3258	
3264	
3270	
3276	
3282	
3288	
3294	
3300	
3306	
3312	
3318	
3324	
3330	
3336	
3342	
3348	
3354	
3360	
3366	
3372	
3378	
3384	
3390	
3396	
3402	
3408	
3414	
3420	
3426	
3432	
3438	
3444	
3450	
3456	
3462	
3468	
3474	
3480	
3486	
3492	
3498	
3504	
3510	
3516	
3522	
3528	
3534	
3540	
3546	
3552	
3558	
3564	
3570	
3576	
3582	
3588	
3594	
3600	
3606	
3612	
3618	
3624	
3630	
3636	
3642	
3648	
3654	
3660	
3666	
3672	
3678	
3684	
3690	
3696	
3702	
3708	
3714	
3720	
3726	
3732	
3738	
3744	
3750	
3756	
3762	
3768	
3774	
3780	
3786	
3792	
3798	
3804	
3810	
3816	
3822	
3828	
3834	
3840	
3846	
3852	
3858	
3864	
3870	
3876	
3882	
3888	
3894	
3900	
3906	
3912	
3918	
3924	
3930	
3936	
3942	
3948	
3954	
3960	
3966	
3972	
3978	
3984	
3990	
3996	
4002	
4008	
4014	
4020	
4026	
4032	

Результаты

Степень за
(табл. 1),
фосфорили
мерно оди
ФК было с

Таблица 1.
реакции в сер
(две серии)

Концентраци	динений, мкм
АТФ	
Фосфокреа	
Общий кре	
Фосфогуан	
Общий гуа	
Скорость пот	
АТФ → ФК	
сердце	
АТФ → ФК	
Работа	
мм рт. ст./м	
кПа/мин	

Примечани

(см. табл.
гуанидинов
накоплением
рость катал
жена (см. т
ки (останов
рт. ст./мин
потока указ
реагировать
грузке. Отм
сухой массы
пада АТФ,
ной работе.
мическом ре
давление и
ниже, чем
давления —

В друго
сосную фу
(см. табл.
сердца конт
менение пре
сопротивлен
с дефицитом
ние (до 62
сопротивлен
(125 мм рт.
их числа на
рт. ст.), а
сердец кры
достоверно

Методика

Крысы массой около 200 г получали 170—200 мг ГУП в сутки в составе бескреатиновой диеты. Такая дозировка препарата за 6 нед снижает содержание ФК и креатина в миокарде до 10—20 % исходного уровня [8, 17, 18, 20, 23, 24].

Перфузия сердца, выполняющего насосную функцию. Сердце извлекали под уретановым наркозом (1,6 г/кг внутрибрюшно). Для перфузии использовали раствор Кребса, содержащий 11 ммол/л глюкозы, 5 ммол/л пирувата и 10 МЕ/л инсулина. После его насыщения смесью 95 % O₂ и 5 % CO₂ pH раствора был в пределах 7,3—7,4. Перфузию осуществляли при 37 °C через канюли, введенные в левое предсердие (ЛП) и аорту, по ранее описанной методике [2]. Приток крови к сердцу варьировал в зависимости от изменения давления, которое мы повышали с 490 до 1960 Па (с 5 до 20 см вод. ст.), при этом давление сопротивления сохранялось на уровне 7,84 кПа (80 см вод. ст.). Затем ступенчато повышали давление сопротивления до 9,8; 11,76 кПа (100,120 см вод. ст.) и на этом фоне частично или полностью закрывали выход перфузату из аортальной камеры, направляя весь аортальный выброс в коронарное русло. Затем повышенный уровень сопротивления снижали до 7,84 кПа (80 см вод. ст.) и через 15 мин последовательно повышали ЧСС с помощью электростимуляции предсердий от уровня спонтанных сокращений до 7 Гц.

Насосную функцию сердца характеризовали минутным объемом (МО), представляющим сумму аортального выброса и коронарного протока. МО измеряли с помощью электромагнитного флюзметра Carolina Medical Electronics. В левый желудочек (ЛЖ) через стенку вводили иглу, давление в его полости и в аортальной камере измеряли с помощью электроманометров Gould Statham 23 Gb. Эти параметры, а также первую производную давления в ЛЖ регистрировали на приборе Gould 2600 S. Вычисляли производные показатели работы сердца: минутную работу и интенсивность функции как произведение среднего аортального давления (САД) на МО и ЧСС соответственно. Для характеристики расслабления определяли константы скорости снижения давления в изоволюмическом [10] и ауксоволюмическом режимах [2]. Для оценки растяжимости сердца в fazu diastole вычисляли показатель диастолической упругости желудочка посредством деления разности между конечным и минимальным диастолическим давлением на объем заполнения желудочка за диастолу [11], который в условиях стабильной работы равен ударному объему. Увеличение этого показателя означает снижение растяжимости желудочка [11, 12]. Поскольку давление наполнения было фиксированым, наполнение ЛЖ определялось изменением диастолического давления. Поэтому критерием наполнения желудочка был интеграл давления наполнения, который вычисляли по площади, ограниченной сверху фиксированным уровнем давления наполнения, а снизу — кривой диастолического давления. В некоторых опытах определяли поглощение кислорода сердцем во время нагрузок объемом и сопротивлением. Для этого коронарный отток направляли через легочную артерию в проточную камеру с кислородным электродом («Beckman», США).

Перфузия сердца в спектрометре ЯМР. Изолированное сердце перфузировали ретроградно через аорту раствором Кребса, не содержащим ортоfosфат, и насыщенным карбогеном при 37 °C. Скорость перфузии была в пределах 12—15 мл·г⁻¹·мин⁻¹. В ЛЖ вставляли заполненный жидкостью латексный баллончик, объем которого был оптимальным для получения максимального развивающего давления. Сердце помещали в ампулу ЯМР-спектрометра CXP-200 («Bruker», ФРГ). Содержание фосфорных соединений определяли, регистрируя спектры ³¹P-ЯМР на спектрометре WM-500 («Bruker», ФРГ) с последующим анализом тканевого экстракта [15]. Основные параметры накопления ³¹P-спектров перфузируемого сердца были следующими: длительность регистрирующего импульса — 37 мкс, время повторения импульсной последовательности — 6 с, ширина спектра — 4 кГц, размер памяти — 4 К, число сканирований — 100—150. Содержание веществ (Р_i, ФГУП, ФК, АТФ и АДФ) вычисляли, относя площади соответствующих пиков к площади пика стандарта и к сухой массе ткани, использованной для экстракции. Длительность регистрирующего импульса составляла 40 мкс, релаксационная задержка — 12—15 с, ширина спектра — 10 кГц, размер памяти — 16 К, число сканирований — около 500. Содержание свободных креатина и бета-ГУП в тканевых экстрактах измеряли по известной методике [9]. Скорость обмена между АТФ и ФК измеряли с помощью метода переноса насыщения [9, 21], используя ЯМР-спектрометр CXP-200 («Bruker», ФРГ), как это описано нами ранее [15].

Результаты

Степень замещения креатина ГУП варьировала в разных сериях (табл. 1), однако количественное отношение ФК к креатину, а также фосфорилированной формы ГУП к его свободной форме было примерно одинаковым и составляло 0,5—0,6. В результате содержание ФК было снижено в 3—9 раз, а АТФ сохранялось на уровне контроля

Таблица 1. Содержание макроэнергических соединений и скорость креатинкиназной реакции в сердце контрольных и получавших гуанидинпропионат (ГУП) крыс (две серии)

Показатель	Контроль (n=18—20)	ГУП-1 (n=5—9)	ГУП-2 (n=8—13)
Концентрация макроэнергических соединений, мкмоль/г:			
АТФ	19,2±0,87	18,3±1,15	16,1±0,97
Фосфокреатин	23,2±1,35	2,72±0,50	7,9±0,96
Общий креатин	37,1±1,5	8,2±0,8	21,0±1,7
Фосфогуанидинпропионат	0,0	28,6±2,28	11,0±1,8
Общий гуанидинпропионат	0,0	48,1±4,5	22,0±1,8
Скорость потока, мкмоль·мин ⁻¹ ·г ⁻¹ :			
АТФ→ФК на остановленном КС1 сердце	654±78	314±51	—
АТФ→ФК при работе сердца	800±126	400±102	—
Работа			
мм рт. ст./мин·10 ⁻³	28,4±1,32	28,3±2,4	—
кПа/мин	3786±176	3773±19	—

Примечание. Здесь и в табл. 2 n — число опытов.

(см. табл. 1). В связи с существенным снижением концентраций гуанидиновых субстратов креатинкиназы — креатина и ФК, — а также накоплением ее конкурентных ингибиторов — ФГУП и ГУП — скорость катализируемого креатинкиназой потока АТФ→ФК была снижена (см. табл. 1) примерно в 2 раза как в условиях нулевой нагрузки (остановка КС1), так и при субмаксимальной нагрузке — 28400 мм рт. ст./мин (3786 кПа/мин). Однаковая степень снижения скорости потока указывает на способность креатинкиназной системы адекватно реагировать на повышенный энергорасход при субмаксимальной нагрузке. Отметим, что при этом креатинкиназный поток (400 мкмоль/г сухой массы) все еще существенно превышал скорость синтеза и распада АТФ, вычисленную по скорости поглощения кислорода при данной работе. В этой серии опытов, проведенной на сердце в изоволюмическом режиме, работавшем в ЯМР-спектрометре, систолическое давление и показатели работы сердца получавших ГУП крыс были ниже, чем в контроле, на 18 %, а максимальная скорость снижения давления — на 23 % (табл. 2).

В другой серии опытов, проведенных на сердце, выполнявшем насосную функцию, уровень ФК был снижен всего в 3 раза (см. табл. 1), и исходный уровень МО оказался одинаковым для сердца контрольных и получавших ГУП крыс — (34±2) мл/мин. Изменение притока не выявило различия между группами, а нагрузка сопротивлением обнаружила сниженную работоспособность сердца с дефицитом ФК. Если в контрольной группе значительное уменьшение (до 62 %) числа сердец, успешно справлявшихся с повышенным сопротивлением, наблюдалось только при повышении САД до 16,7 кПа (125 мм рт. ст.), то в группе ГУП такое же относительное уменьшение их числа наблюдалось уже при САД, составлявшем 12,7 кПа (95 мм рт. ст.), а уровня 16,7 кПа (125 мм рт. ст.) достигали только 12 % сердец крыс, получавших ГУП. В связи с этим в этой группе были достоверно снижены на 24—32 % максимальные показатели систоли-

ческого давления в ЛЖ (от $23,6 \pm 9$ до $17,9$ кПа $\pm 1,3$ кПа или от 177 мм рт. ст. ± 7 мм рт. ст. в контроле до 134 ± 10 ; $P < 0,01$) и объемной работы (от 3701 мм рт. ст.·мл/мин ± 382 мм рт. ст.·мл/мин до 2516 ± 348 или от 439 ± 51 до 335 кПа·мл $^{-1}$ ·мин $^{-1} \pm 46$ кПа·мл $^{-1}$ ·мин $^{-1}$; $P < 0,05$).

Столь же значительно уменьшалось и максимальное поглощение кислорода сердцем с дефицитом ФК. На рис. 1 представлена зависи-

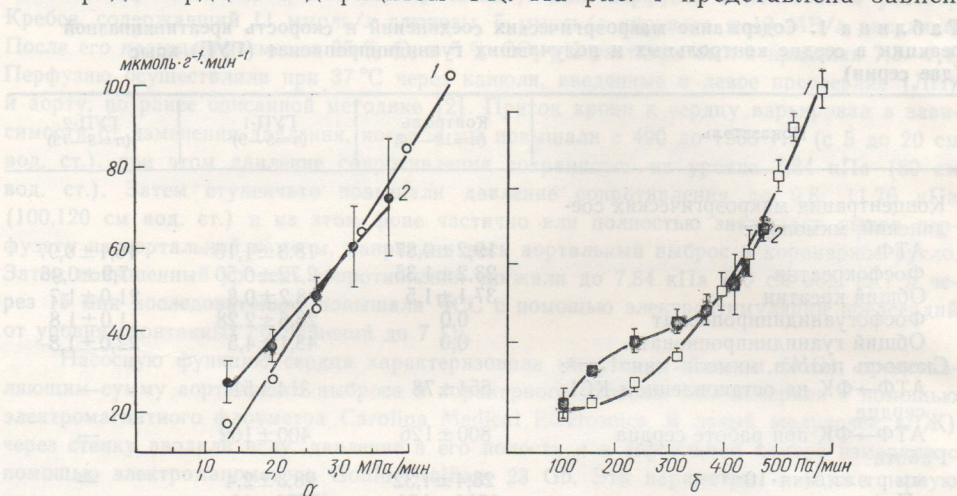


Рис. 1. Зависимость поглощения кислорода ($\text{мкмоль}\cdot\text{г сухой массы}^{-1}\cdot\text{мин}^{-1}$) сердцем контрольных (1) и получавших гуанидинпропионат (2) крыс от показателей интенсивности сократительной функции (мм рт. ст./мин, кПа/мин) (а) и объемной работы сердца (мм рт. ст. \cdot мл/мин, кПа \cdot мл/мин) (б).

мость поглощения кислорода от двух показателей работы в условиях нагрузки притоком и сопротивлением. В обеих группах поглощение кислорода линейно коррелировало с показателем интенсивности функций, представлявшим произведение САД на ЧСС, и разница между группами отсутствовала (рис. 1, а). Увеличение объемной работы при нагрузке притоком сопровождалось относительно небольшим при-

Таблица 2. Показатели сократительной (в изоволюмическом режиме) функции изолированного сердца контрольных и получавших гуанидинпропионат (ГУП) крыс

Показатель	Контроль (n=5)	ГУП (n=5)
Частота сокращений, мин ⁻¹	188±17	172±22
Систолическое давление, мм рт. ст.	208±15	170±6*
кПа	28±2	
Конечнодиастолическое давление, мм рт. ст.	26±3	12±3**
кПа	34±4	16±4
Развиваемое давление, мм рт. ст.	179±16	155±3
кПа	24±2	21±0,4
Максимальная скорость развития давления, мм рт. ст. / с	3340±250	2830±180
кПа/с	445±33	377±24
Максимальная скорость снижения давления, мм рт. ст. / с	2070±110	1600±60*
кПа/с	276±15	213±2
Показатель общей работы сердца (СД×ЧС), мм рт. ст. / с	38420±1128	32316±2460*
кПа/с	5122±150	4308±328
Перфузионное давление, мм рт. ст.	80±2	79±1
кПа	10,7±0,3	10,5±0,1
Скорость коронарной перфузии, мл/мин	11,4±1,0	12,7±1,0

* $P < 0,05$, ** $P < 0,01$ по сравнению с контролем.

ростом поглощения кислорода в контрольных опытах, а сердце крыс, получавших ГУП, характеризовалось достоверно более высоким приростом поглощения кислорода (рис. 1, б). Значительно более крутой прирост поглощения кислорода на единицу объемной работы наблюдался в обеих группах при повышении сопротивления, причем сердце животных, получивших ГУП, сохраняло повышенный уровень поглощения кислорода при равной объемной работе (рис. 1, б).

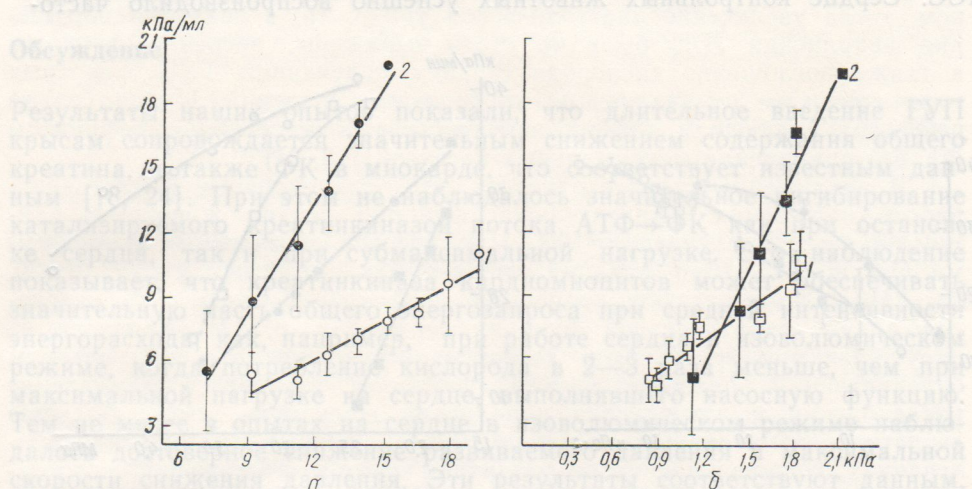


Рис. 2. Зависимость показателя диастолической упругости ЛЖ (мм рт. ст./мл, кПа/мл), контрольных (1) и получавших гуанидинпропионат (2) крыс от среднего аортального давления (а) и конечнодиастолического давления в ЛЖ (мм рт. ст., кПа) (б).

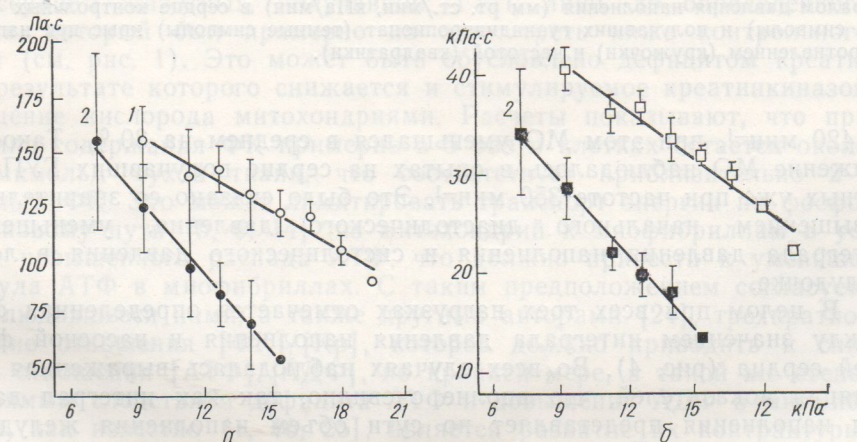


Рис. 3. Зависимость интеграла давления наполнения (Па·с) сердца за цикл (а) и за минуту (б) контрольных (1) и получавших гуанидинпропионат (2) крыс от среднего аортального давления (мм рт. ст., кПа).

Значительные изменения показателей, характеризующих расслабление и растяжение ЛЖ, выявлены в опытах с повышением сопротивления. В опытах на сердце с дефицитом ФК константы скорости снижения давления в изоволюмическом и ауксоволюмическом режимах при САД, составлявшем 70 мм рт. ст. или 9,3 кПа (56 ± 9 и $74 \text{ с}^{-1} \pm 9$ с^{-1} соответственно или $7,5 \pm 1,2$ и $9,9 \text{ с}^{-1} \pm 1,2 \text{ с}^{-1}$), оказались сниженными примерно на 30 % по сравнению с контрольными значениями (79 ± 6 и $103 \text{ с}^{-1} \pm 8 \text{ с}^{-1}$ или $10,5 \pm 0,8$ и $13,7 \text{ с}^{-1} \pm 1,1 \text{ с}^{-1}$). Эта разница сохранялась при повышении САД. Отмечалось также повышение диастолического давления как в начале, так и в конце диастолы на

5—6 мм рт. ст. (670—880 Па). При повышении САД в обеих сериях значительно возрастал показатель диастолической упругости, но сердце получавших ГУП животных отличалось от сердца контрольных животных крутизной прироста этого показателя (рис. 2). Одновременно наблюдалось прогрессирующее снижение интеграла давления наполнения за минуту (рис. 3).

Сердце животных, получавших ГУП, отличалось от сердца контрольных животных сниженной способностью воспроизводить высокую ЧСС. Сердце контрольных животных успешно воспроизводило частоту

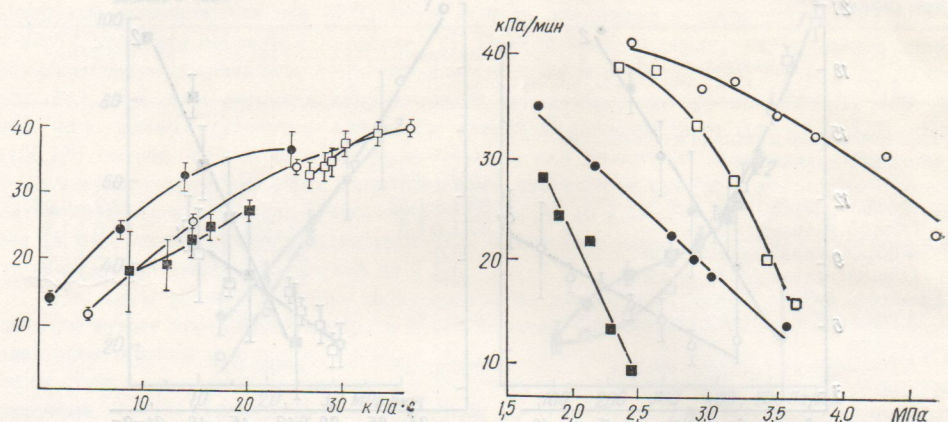


Рис. 4. Соотношение между интегралом давления наполнения (мм рт. ст.·с, кПа·с) и минутным объемом (мл/мин) сердца контрольных (светлые символы) и получавших гуанидинпропионат (темные символы) крыс при нагрузке притоком (кружочки) и сопротивлением (квадратики).

Рис. 5. Соотношение между показателем интенсивности сократительной функции и интегралом давления наполнения (мм рт. ст./мин, кПа/мин) в сердце контрольных (светлые символы) и получавших гуанидинпропионат (темные символы) крыс при нагрузке сопротивлением (кружочки) и частотой (квадратики).

ту 420 мин^{-1} , при этом МО уменьшался в среднем на 30 %. Такое же снижение МО наблюдалось в опытах на сердце получавших ГУП животных уже при частоте 350 мин^{-1} . Это было связано со значительным повышением начального диастолического давления, уменьшением интеграла давления наполнения и систолического давления в левом желудочке.

В целом при всех трех нагрузках отмечается определенная связь между значением интеграла давления наполнения и насосной функцией сердца (рис. 4). Во всех случаях наблюдалась выраженная корреляция показателей, что вполне очевидно, так как интеграл давления наполнения представляет по сути объем наполнения желудочка в фазу диастолы. Данная связь реализуется одинаково в сердце обеих групп животных при повышении нагрузки сопротивлением, лишь диапазон изменений МО и интеграла давления наполнения для сердца крыс, получавших ГУП, значительно смешен в сторону меньших значений. Весьма близкие к этим значения наблюдались также при увеличении ЧСС (не показано на рис. 4). При нагрузке притоком сердце получавших ГУП животных отличается более крутым приростом МО в одинаковом диапазоне градиента давления наполнения (см. рис. 4). Поскольку при нагрузке сопротивлением и частотой максимальная интенсивность сердечной функции (ИСФ) животных, получавших ГУП, была значительно ниже, можно предположить, что достижение какого-либо повышенного уровня ИСФ может оказаться критическим для сердца этой группы животных, что вызовет повышение диастолической упругости и снижение интеграла давления наполнения. Соотношение между ИСФ и интегралом давления наполнения

показывает, что последний в 22 000 мм рт. ст. сопровождается, чем крутизной той. В опыте интеграла давления ИСФ

Обсуждение

Результаты опытов на крысам сопротивлением креатина, а также [18, 24] показывают, что катализирует, значительно энергорасход в режиме, когда максимально. Тем не менее, удалось достичь скорости сокращения, полученным в условиях замедленного сокращения.

Значительное снижение сопротивления сокращения сердца в пределе, когда уровня (см. на, в результате поглощения снижении сокращения 3—6 мкмоля/л фракции креатином в условиях повышенной концентрации пула АТФ, ся наблюдалось снижение отражению относительно. Прямым образом, как степень которого

Наличие волокон и тем самым давление в повышенной степени согласуется с возможной компенсацией дефицитом фракции животного, сокращения камеры без которых может быть в которых испытывались опыты адаптационного

х сериях
о сердце
к живот-
нно наб-
полнения
ца конт-
высокую
о частот-

МПа
с, кПа·с)
получав-
жочки) и

акое же
УП жи-
тельный
ышением
в левом

я связь
й функ-
тая кор-
давле-
лудочка
е обеих
, лишь
я серд-
геныших
же при
ритоком
прирос-
ия (см.
макси-
, полу-
ть, что
азаться
г повы-
ния на-
аполне-

ния показывает (рис. 5), что в контрольных опытах при обеих нагрузках последний мало изменяется при повышении ИСФ — примерно до 22 000 мм рт. ст. / мин (2933 кПа / мин). Дальнейшее повышение ИСФ сопровождается уменьшением интеграла давления наполнения, причем крутизна этого снижения значительно больше при нагрузке частотой. В опытах на сердце получавших ГУП животных уменьшение интеграла давления наполнения начиналось уже при небольшом повышении ИСФ.

Обсуждение

Результаты наших опытов показали, что длительное введение ГУП крысам сопровождается значительным снижением содержания общего креатина, а также ФК в миокарде, что соответствует известным данным [18, 24]. При этом не наблюдалось значительное ингибиование катализируемого креатинкиназой потока АТФ → ФК как при остановке сердца, так и при субмаксимальной нагрузке. Это наблюдение показывает, что креатинкиназа кардиомиоцитов может обеспечивать значительную часть общего энергозапроса при средней интенсивности энергорасхода, как, например, при работе сердца в изоволюмическом режиме, когда потребление кислорода в 2—3 раза меньше, чем при максимальной нагрузке на сердце, выполнявшего насосную функцию. Тем не менее в опытах на сердце в изоволюмическом режиме наблюдалось достоверное снижение развиваемого давления и максимальной скорости снижения давления. Эти результаты соответствуют данным, полученным при изучении функции «медленных» скелетных мышц в условиях замещения креатина ГУП [7, 17, 20, 23].

Значительное повышение энергорасхода при возрастании сопротивления сопровождалось адекватным увеличением поглощения кислорода сердцем животных, получавших ГУП, лишь до определенного предела, который был примерно на одну треть ниже контрольного уровня (см. рис. 1). Это может быть обусловлено дефицитом креатина, в результате которого снижается и стимулируемое креатинкиназой поглощение кислорода митохондриями. Расчеты показывают, что при снижении содержания ФК примерно в 5 раз в клетках остается около 3—6 мкмоль/г сухой ткани, что соответствует приблизительно 2—3 ммоль/л ФК. Это может лимитировать транспорт энергии по фосфокреатиновому пути [5, 6, 14] из митохондрий к миофибриллам в условиях повышенного распада АТФ, что должно привести к уменьшению пула АТФ в миофибриллах. С таким предположением согласуется наблюдавшееся нами, а также другими авторами [24], трехкратное снижение отношения $[ФК]/[Кр]$, которое должно приводить к снижению отношения $[АТФ]/[АДФ]$, по крайней мере, в такой же степени. Прямыми следствием дефицита АТФ и повышения АДФ в миофибриллах, как известно [1, 16, 25], является развитие их контрактуры, степень которой пропорциональна степени изменений АТФ и АДФ.

Наличие контрактуры, затрудняющей растяжение миокардиальных волокон и тем самым ограничивающей наполнение ЛЖ при стабильном давлении наполнения, может быть одной из вероятных причин повышенной диастолической упругости сердца с дефицитом ФК. С этим согласуется факт ее резкого возрастания при повышении энергетического запроса сердца. Вместе с тем надо иметь в виду и другую возможную причину, также связанную с постепенно развивающимся дефицитом ФК. Поскольку данный фактор действует во время роста животного, сердце, по-видимому, имеет возможность увеличить объем камеры без существенного увеличения массы. Особенно значительной может быть роль этого компенсаторного фактора у юных животных, которых использовали в опытах другие исследователи [18, 24]. В наших опытах были использованы взрослые животные со сниженной адаптационной способностью.

Независимо от вызвавшей ее причины повышенная упругость ЛЖ, как показали результаты наших исследований, существенно снизила интеграл давления наполнения, определяющий растяжение волокон в фазу диастолы в сердце получавших ГУП животных при высоких нагрузках частотой или сопротивлением (см. рис. 3), что лимитировало ударный объем и объемную работу сердца в этих условиях (см. рис. 4 и 5). Последняя эквивалентна внешней работе сердца в организме [7]. При средних уровнях сопротивления или при нагрузке притоком, когда увеличение диастолической упругости, а значит и нарушение наполнения ЛЖ были не столь выражены, насосная функция, а также поглощение кислорода сердцем получавших ГУП животных практически не отличались от контрольных значений. Именно такой результат наблюдали авторы, изучавшие работу сердца с дефицитом ФК без применения максимальных нагрузок [18, 24].

В заключение следует отметить, что установленные в настоящей работе нарушения сократительной функции сердца животных, длительное время получавших ГУП, согласуются с данными, полученными при исследовании функции «медленных» скелетных мышц [8, 20, 23, 24] и соответствуют концепции фосфокреатинового пути энергоснабжения сократительной функции сердца [5, 6, 14]. Характер ее нарушения при хроническом дефиците ФК в миокарде, при котором определяющим патогенетическим фактором становится замедление расслабления и затруднение наполнения желудочка, имеет большое сходство с изменениями, возникающими у больных при многих заболеваниях, сопровождающихся развитием застойной сердечной недостаточности [3, 12, 13]. Такое сходство позволяет предположить, что нарушение энергоснабжения миофибрилл может быть ведущим фактором патогенеза многих заболеваний сердца у людей.

MECHANISMS OF THE CARDIAC CONTRACTILE FUNCTION AND ENERGY METABOLISM ADAPTATION TO CONDITIONS OF CHRONIC DEPLETION OF PHOSPHOCREATINE

V. I. Kapelko, V. V. Kupriyanov, N. A. Novikova, V. L. Lakomkin, A. Ya. Steinschneider, M. Yu. Zueva, V. A. Saks

Rats were fed a diet containing beta-guanidinopropionic acid (GPA), an inhibitor of the creatine (Cr) transport. 6 weeks later the myocardial phosphocreatine (PCr) content as well as the PCr-Cr relation were severely depleted while the ATP content was normal. Most of isolated hearts taken from the GPA-treated rats exhibited a normal pump function under moderate loads and adequately responded to increasing volume loads. However, under the maximal resistance load they developed a 24 % less left ventricular (LV) systolic pressure, a 32 % less pressure-volume work and a 35 % less maximal oxygen consumption as compared to control hearts. The cardiac contractile failure under these conditions and also during the heart rate elevation was due to reduced LV filling caused by a progressive increase in the LV diastolic stiffness. The results obtained agree with the concept of PCr shuttle which predicted depletion of the myofibrillar ATP pool for an increased energy demand.

Institute of Experimental Cardiology,
Cardiology Research Centre, Academy of Medical Sciences, USSR, Moscow

1. Векслер В. И., Капелько В. И. Способность системы фосфокреатин—миофибриллярная креатинкиназа предотвращать ригорное напряжение миокардиальных волокон // Биофизика.—1985.—30.—№ 2.—С. 301—305.
2. Капелько В. И., Новикова Н. А. Изоволюмическая и ауксоволюмическая константы расслабления сердца в оценке его инотропизма // Бюл. Всесоюз. кардиол. науч. центра АМН СССР.—1986.—№ 1.—С. 37—45.
3. Кобаяши К., Ниили Дж. Р. Максимальные скорости образования энергии при гликолизе и окислении глюкозы в сердечной мышце // Метаболизм миокарда.—М.—Медицина.—1979.—С. 269—285.

4. Мухарлямов гия.—1984.—
5. Сакс В. А. Б хи биол. хими
6. Bessman S. R shuttle // Scie
7. Elzinga G. C metabolism.—
8. Fitch C. D., J a substitute fo P. 1123—1125
9. Forseen S., H means of nuc P. 2892—2901
10. Frederiksen J fall: determin N 6.—P. H70
11. Gaasch W. H ances: mechan P. 645—653.
12. Grossman W. and diastolic 13.—N 9.—P
13. Hirota Y. A N 4.—P. 756.
14. Jacobus W. E te metabolism P. 707—725.
15. Kupriyanov V through creat phys. acta.—
16. McClellan G., fibril by a c 245.—P. 423.
17. Mainwood G. contraction o 60.—N 2.—P
18. Meyer R. A., tine depleted
19. Mommaerts V 49.—P. 427—
20. Petrofsky J. phosphocreati
21. Saedeleer M. frog sartorius nate // Pfluge
22. Savabi F., G energy shuttl
23. Shields R. P. guanidinoprop
24. Shoubridge E turnover and analogue bet N 1.—P. 25—
25. Ventura-Clap of rigor tens P. 157—161.
26. Williamson J vity with ele

Ин-т эксперим. и кардиол. науч. ц

ость ЛЖ, снизила волокон высоких имитирований (см. организке прито-наруш-функция, киотных но такой фицитом

ающей-ых, дли-лученны-ц [8, 20, энерго-актер ее котором медление большое их забо-недоста-ить, что им фак-

инбатор of
r) content
as normal.
mp functi-
ds. Howe-
cular (LV)
ial oxygen
nder these
ing caused
agree with
ool for an

4. Мухарлямов Н. М. Кардиомиопатии: классификация и диагностика // Кардиология.— 1984.—24, № 8.— С. 5—11.
5. Сакс В. А. Внутриклеточный транспорт энергии — фосфокреатиновый путь // Успехи биол. химии.— 1983.—24.— С. 40—60.
6. Bessman S. P., Geiger P. J. Transport of energy in muscle: the phosphorylcreatine shuttle // Science.— 1981.—211.— N 4481.— P. 448—452.
7. Elzinga G. Cardiac oxygen consumption and production of heart and work // Cardiac metabolism.— London: J. Wiley and Sons, 1983.— P. 173—194.
8. Fitch C. D., Jellinek M., Fitch R. H. et al. Phosphorylated betaguanidinopropionate as a substitute for phosphocreatine in rat muscle // Amer. J. Physiol.— 1975.—228, N 4.— P. 1123—1125.
9. Forseen S., Hoffman R. A. Study of moderately rapid chemical exchange reaction by means of nuclear magnetic double resonance // J. Chem. Phys.— 1963.—39.— N 11.— P. 2892—2901.
10. Frederiksen J. W., Weiss J. L., Weisfeldt M. L. Time constant of isovolumic pressure fall: determinants in the working left ventricle // Amer. J. Physiol.— 1978.—235.— N 6.— P. H701—H706.
11. Gaasch W. H., Levine H. J., Quinones M. A., Alexander J. K. Left ventricular compliances: mechanisms and clinical implications // Amer. J. Cardiol.— 1976.—38.— N 5.— P. 645—653.
12. Grossman W., McLaurin L. P., Rolett E. L. Alterations in left ventricular relaxation and diastolic compliance in congestive cardiomyopathy // Cardiovasc. Res.— 1979.—13.— N 9.— P. 514—522.
13. Hirota Y. A clinical study of left ventricular relaxation // Circulation.— 1980.—62.— N 4.— P. 756—763.
14. Jacobus W. E. Respiratory control and the integration of heart high-energy phosphate metabolism by mitochondrial creatine kinase // Ann. Rev. Physiol.— 1985.—47.— P. 707—725.
15. Kupriyanov V. V., Steinschneider A. Ya., Ruuge E. K. et al. Regulation of energy flux through creatine kinase reaction in vitro and in perfused rat heart // Biochim. et biophys. acta.— 1984.—805.— N 4.— P. 319—331.
16. McClellan G., Weisberg A., Winegrad S. Energy transport from mitochondria to myofibril by a creatine phosphate shuttle in cardiac cells // Amer. J. Physiol.— 1983.—245.— P. 423—427.
17. Mainwood G. W., Alward M., Eiselt B. The effect of metabolic inhibitors on the contraction of creatine-depleted muscle // Can. J. Physiol. and Pharmacol.— 1982.—60.— N 2.— P. 114—119.
18. Meyer R. A., Brown T. R., Kushmerick M. J. Creatine kinase kinetics in phosphocreatine depleted rat hearts // Biophys. J.— 1984.—45.— P. 91.
19. Mommaerts W. F. H. M. Energetics of muscular contraction // Physiol. Rev.— 1969.—49.— P. 427—508.
20. Petrofsky J. S., Fitch C. D. Contractile characteristics of skeletal muscle depleted of phosphocreatine // Pflugers Arch.— 1980.—384.— N 2.— P. 123—129.
21. Saedeleer M. de, Marechal G. Chemical energy usage during isometric twitches of frog sartorius muscle intoxicated with an isomer of creatine, beta-guanidinopropionate // Pflugers Arch.— 1984.—402.— N 2.— P. 185—189.
22. Savabi F., Geiger P. J., Bessman S. P. Myofibrillar end of the creatine phosphate energy shuttle // Amer. J. Physiol.— 1984.—247.— P. 424—432.
23. Shields R. P., Whitehair C. K. Muscle creatine: in vivo depletion by feeding beta-guanidinopropionic acid // Can. J. Biochem.— 1973.—51.— N 9.— P. 1046—1049.
24. Shoubridge E. A., Jeffry F. M. H., Keogh J. M. et al. Creatine kinase kinetics, ATP turnover and cardiac performance in hearts depleted of creatine with the substrate analogue beta-guanidine propionic acid // Biochim. et biophys. acta.— 1985.—847.— N 1.— P. 25—32.
25. Ventura-Clapier R., Vassort G. Role of myofibrillar creatine kinase in the relaxation of rigor tension in skinned cardiac muscle // Pflugers Arch.— 1985.—404.— N 2.— P. 157—161.
26. Williamson J. R., Ford C., Kobayashi K. et al. Coordination of citric acid cycle activity with electron transport flux // Circul. Res.— 1976.—38.— suppl. 1.— P. 39—48.

Ин-т эксперим. кардиологии Всесоюз.
кардиол. науч. центра АМН ССР, Москва

Поступила 22.06.86